

# بررسی سینتیک حذف پارانیتروفنل توسط فرایند UV/S<sub>2</sub>O<sub>8</sub><sup>2-</sup> در یک فتوراکتور جریان پیوسته آنولار

محمدعلی بهنژادی\*<sup>†</sup>, سید حامد ظفری غازانی

تبریز، دانشگاه آزاد اسلامی، واحد تبریز، گروه شیمی

**چکیده:** در این کار پژوهشی از یک فتوراکتور پیوسته آنولار مجهز به یک لامپ UV-C در مرکز فتوراکتور با طول موج نشری ۲۵۴ nm، برای حذف یک آلانیده مدل (پارانیتروفنل) با استفاده از فرایند UV/S<sub>2</sub>O<sub>8</sub><sup>2-</sup>/UV ارایه شده است. در این پژوهش، برای اولین بار یک معادله سینتیکی جامع برای فرایند UV/S<sub>2</sub>O<sub>8</sub><sup>2-</sup>/UV ارایه شده است. ثابت سرعت واقعی واکنش رادیکال‌های SO<sub>4</sub><sup>-</sup> با مولکول‌های پارانیتروفنل با مدل‌سازی سینتیکی برآورده شده است. درست آمده از نتیجه‌های بررسی سینتیک فرایند بر مبنای مکانیسم داده شده، به خوبی می‌تواند غاظت پارانیتروفنل را در این فرایند در شرایط عملیاتی گوناگون همچون غاظت اکسید کننده، شدت جریان حجمی سیال و طول فتوراکتور پیوسته تعیین کند.

**واژه‌های کلیدی:** مدل‌سازی سینتیکی، UV/S<sub>2</sub>O<sub>8</sub><sup>2-</sup>/UV، فتوراکتور جریان پیوسته آنولار، پارانیتروفنل.

**KEY WORDS:** Kinetic modeling, UV/S<sub>2</sub>O<sub>8</sub><sup>2-</sup>, Annular continuous photoreactor, p-Nitrophenol.

## مقدمه

در دهه اخیر پژوهشگران متعددی فعالیت خود را بر روی دسته‌های از روش‌های اکسیداسیون با عنوان فرایندهای اکسیداسیون پیشرفت‌های متراکز نموده‌اند. ویژگی عمده این فرایندها این است که در دما و فشار محیط قابل انجام هستند. اگر چه فرایندهای اکسیداسیون پیشرفت‌به روش‌های بسیاری تقسیم می‌شوند ولی ویژگی یکسان همه آنها تولید رادیکال‌های بسیار قوی هیدروکسیل می‌باشد که با ثابت سرعت بالا به ترکیب‌های آلی حمله نموده و آنها را تخریب می‌نمایند [۲]. فرایندهای اکسیداسیون پیشرفت‌به سه دستهٔ فرایندهای اکسیداسیونی، فتواکسیداسیونی و فتوکاتالیستی تقسیم‌بندی می‌شوند. در فرایندهای فتواکسیداسیونی از ترکیب پرتو فرابنفش با یک اکسیدکننده مانند H<sub>2</sub>O<sub>2</sub> و یا O<sub>3</sub> استفاده می‌شود و در فرایندهای فتوکاتالیستی از ترکیب پرتو فرابنفش و

پساب‌های صنعتی اغلب دارای ترکیب‌های آلی سمی هستند. حذف این ترکیب‌ها ممکن است پرهزینه و یا مشکل باشد، بهویژه اگر بخواهیم مقدار این مواد را به غلظت‌های خیلی کم کاهش دهیم. روش‌های متداول برای حذف باقی‌مانده ترکیب‌های آلی موجود در آب‌های هاده و جذب سطحی توسط کربن فعال است. هاده فقط برای ترکیب‌های فرار مفید بوده و جذب سطحی نیز بر روی برخی از ترکیب‌های آلی بتأثیر می‌باشد. برخی از فرایندهای تصفیه مانند انعقاد و لخته‌سازی و حتی الکتروانعقاد نیز فقط محل آلانیده را عوض کرده آن را از فاز مایع به فاز جامد منتقل نموده و پساب جامدی را ایجاد می‌نمایند که به نوبه خود مشکل‌های بسیاری را دربر دارد [۱]. به طور کلی این فرایندها قادر به تخریب و نابودی آلانیدهای محیط زیست نمی‌باشند.

\*عهده دار مکاتبات

+E-mail: behnejady@iaut.ac.ir

در مقایسه با سایر اکسیدکننده‌ها همچون هیدروژن پراکسید و ازون بسیار ارزان‌تر است [۱۰-۸].

پارانیتروفل یکی از مشتق‌های فنل می‌باشد. این ترکیب دارای رنگ زرد بوده و به صورت پودر یافت می‌باشد. قابلیت حل شدن این ماده در آب شایان توجه بوده و محلولی با رنگ زرد تولید می‌نماید. نیتروفنل‌ها از آلاینده‌های مقاوم هستند که می‌توانند در پساب‌ها وجود داشته باشند. بهویژه پارانیتروفل و مشتق‌های آن که در فرایند تولید آفت‌کش‌ها، حشره‌کش‌ها و رنگ‌های سنتزی مورد مصرف دارند در فرایند تولید وارد پساب‌ها می‌شوند. این آلاینده‌ها سمی و سرطان‌زا هستند و برای محیط زیست و سلامت انسان‌ها بسیار مضر هستند [۵].

در این مقاله کارائی فرایند فتواکسیداسیونی  $\text{UV/S}_2\text{O}_8^-$  در حذف پارانیتروفل (PNP) به عنوان یک نمونه از آلاینده‌های آروماتیک در یک فتوراکتور آنولار پیوسته بررسی شده و برای اولین بار معادله‌های سینتیکی برای این فرایند به دست خواهد آمد. دقت معادله‌های به دست آمده در تخمین غلظت PNP در شرایط گوناگون در فتوراکتور آنولار پیوسته مورد ارزیابی قرار گرفته و همچنین ثابت سرعت واقعی واکنش رادیکال‌های  $\text{SO}_4^{2-}$  با PNP نیز به دست خواهد آمد.

### بخش تجربی

#### شرح ساختار فتوراکتور مورد استفاده

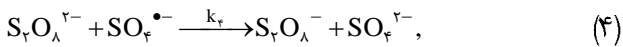
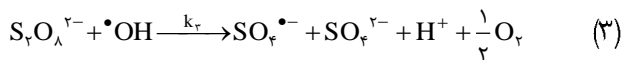
تصویر واقعی فتوراکتور آنولار پیوسته با تابش نور از مرکز در شکل ۱ نشان داده شده است. این فتوراکتور از یک راکتور از جنس پیرکس با قطر داخلی ۷۰ میلیمتر و ضخامت ۲/۵ میلیمتر و به ارتفاع ۸۰ سانتیمتر که در فواصل ۲۰ سانتیمتر از آن سه محل نمونبرداری تعییه شده تشکیل شده است. در مرکز فتوراکتور یک لامپ UV-C، W ۳۰ با طول موج نشري ۲۵۴ نانومتر (فیلیپس) در داخل یک لوله کوارتز به قطر داخلی ۳۰ میلیمتر و ضخامت ۲/۵ میلیمتر قرار گرفته است. به منظور تزریق محلول از یک پمپ پریستالیک با شدت قابل تنظیم استفاده می‌شود. جریان دارای آلاینده از ورودی فتوراکتور در پایین آن وارد شده و از آخرین خروجی که در بالای فتوراکتور تعییه شده خارج می‌شود.

### روش کار

در هر آزمایش ۲۰۰۰ میلی‌لیتر از محلول PNP (مرک) با غلظت اولیه ۳۰ میلی‌گرم بر لیتر و پتانسیم پراکسیدی‌سولفات (مرک)

یک فتوکاتالیزور نیمه رسانا مانند  $\text{ZnO}$ ,  $\text{TiO}_2$  استفاده می‌شود [۳]. درین فرایندهای اکسیداسیون پیشرفت، اکسیداسیون فتوشیمیابی با استفاده از پرتو UV در حضور  $\text{H}_2\text{O}_2$  یک روش خوش آئیه‌ای است که برای حذف آلاینده‌های آلی از محیط‌های آبی می‌تواند بسیار مؤثر باشد. از ۱۹۶۰ میلادی به بعد گزارش‌هایی راجع به توانایی اکسیدکنندگی سیستم  $\text{UV}/\text{H}_2\text{O}_2$  منتشر شده و در طول دهه گذشته، به عنوان یک فناوری نو توجه گسترده‌ای نسبت به این فرایند شده است. بهطوری که برای بیشتر ترکیب‌های آلی مورد بررسی قرار گرفته است [۴، ۵]. مدل‌های بسیاری برای توصیف سینتیک فرایند  $\text{UV}/\text{H}_2\text{O}_2$  در دهه گذشته ارایه شده است. مدل‌های سینتیکی براساس واکنش‌های شیمیایی و فتوشیمیابی معلوم و شناخته شده و با در نظر گرفتن تقریب حالت پایا برای گونه‌های حدواسط ارایه شده است. در یک دسته از این مدل‌ها از واکنش بین رادیکال‌های هیدروکسیل و آب اکسیژن چشم‌پوشی می‌شود در این صورت ثابت سرعت ظاهری به دست آمده تابعی از غلظت اولیه آلاینده خواهد بود [۴]. همچنین در صورتی که از اثر غلظت اولیه آلاینده در برابر غلظت بالای اکسیدکننده چشم‌پوشی شود رابطه سرعت به دست آمده تابعی از غلظت اولیه اکسیدکننده خواهد بود [۶]. در سال ۲۰۰۶ میلادی یک معادله سینتیکی جامع برای حذف یک آلاینده آلی توسط فرایند  $\text{UV}/\text{H}_2\text{O}_2$  در یک فتوراکتور لوله‌ای ارایه شد در این کار با در نظر گرفتن حالت پایا برای گونه‌های فعل معادله‌های سینتیکی جامعی برای غلظت آلاینده و همچنین اکسیدکننده به دست آمد. معادله‌های به دست آمده دقت خوبی در تخمین غلظت آلاینده در شرایط گوناگون عملیاتی از خود نشان دادند [۷].

در سال‌های اخیر توجه زیادی به جایگزین نمودن سایر اکسیدکننده‌ها به جای هیدروژن پراکسید صورت گرفته است. پراکسیدی‌سولفات یک گزینه مناسب برای این منظور است، این ترکیب یک اکسیدکننده قوی بوده و کاربرد زیادی در صنعت نفت همچون تصفیه روغن‌های هیدرولیک و همچنین به عنوان آغازگر واکنش دارد. این ترکیب با توجه به ماهیت اکسیدکنندگی آن می‌تواند در تحریب ترکیب‌های آلی نیز مورد استفاده قرار گیرد ولی از آنجایی که واکنش پراکسیدی‌سولفات در دمای معمولی کند می‌باشد روش‌های گرمایی و فتوشیمیابی برای تبدیل  $\text{S}_2\text{O}_8^{2-}$  به  $\text{SO}_4^{2-}$  و افزایش سرعت واکنش پیشنهاد شده است. روش گرمایی نیاز به دمای ۱۰۰ درجه سلسیوس دارد بنابراین روش فتوشیمیابی نسبت به روش گرمایی کاربردی‌تر می‌باشد. پتانسیم پراکسیدی‌سولفات



$$k_r = 5/5 \times 10^{-5} \text{ M}^{-1}\text{s}^{-1} \quad [9]$$



در این معادله‌ها Int. و P به ترتیب بیانگر حدواتسطهای تولیدی و فراوردهای نهایی معدنی‌سازی می‌باشند. با توجه به معادله‌های سینتیکی (۱) تا (۶)، سرعت حذف PNP را می‌توان به صورت زیر نوشت:

$$-r_{\text{PNP}} = \frac{-d[\text{PNP}]}{dt} = k_d [\text{SO}_\lambda^{\cdot-}] [\text{PNP}] \quad (7)$$

روابط سینتیکی به دست آمده از این معادله‌ها برای رادیکال‌های  $\text{SO}_\lambda^{\cdot-}$  و  $\cdot\text{OH}$  عبارتند از:

$$\frac{d[\text{SO}_\lambda^{\cdot-}]}{dt} = k_1 [\text{S}_\lambda \text{O}_\lambda^{\cdot-}] - k_r [\text{SO}_\lambda^{\cdot-}] + \quad (8)$$

$$k_r [\text{S}_\lambda \text{O}_\lambda^{\cdot-}] [\cdot\text{OH}] - k_e [\text{S}_\lambda \text{O}_\lambda^{\cdot-}] [\text{SO}_\lambda^{\cdot-}] -$$

$$k_d [\text{SO}_\lambda^{\cdot-}] [\text{PNP}] - k_e [\text{SO}_\lambda^{\cdot-}] [\text{Int.}]$$

$$\frac{d[\cdot\text{OH}]}{dt} = k_r [\text{SO}_\lambda^{\cdot-}] - k_r [\text{S}_\lambda \text{O}_\lambda^{\cdot-}] [\cdot\text{OH}] \quad (9)$$

با در نظر گرفتن تقریب حالت پایا برای غلظت رادیکال‌های  $\text{SO}_\lambda^{\cdot-}$  و  $\cdot\text{OH}$ ، غلظت رادیکال‌های  $\text{SO}_\lambda^{\cdot-}$  و  $\cdot\text{OH}$  به صورت زیر به دست می‌آید:

$$[\cdot\text{OH}] = \frac{k_r [\text{SO}_\lambda^{\cdot-}]}{k_r [\text{S}_\lambda \text{O}_\lambda^{\cdot-}]} \quad (10)$$

با در نظر گرفتن معادله (۱۰)، برای رادیکال‌های  $\text{SO}_\lambda^{\cdot-}$  خواهیم داشت:

$$[\text{SO}_\lambda^{\cdot-}] = \frac{2k_1 [\text{S}_\lambda \text{O}_\lambda^{\cdot-}]}{k_r [\text{S}_\lambda \text{O}_\lambda^{\cdot-}] + k_d [\text{PNP}] + k_e [\text{Int.}]} \quad (11)$$

برای مراحل اولیه فرایند خواهیم داشت:

$$[\text{PNP}]_0 \cong [\text{PNP}] + [\text{Int.}] \quad (12)$$

از معادله‌های (۱۱) و (۱۲)، می‌توان غلظت رادیکال‌های  $\text{SO}_\lambda^{\cdot-}$  را به صورت زیر نوشت:



شکل ۱- فتو راکتور آنولار پیوسته.

با غلظت‌های مشخص تهیه و به یک بشر پیرکس منتقل می‌شود. بشر بر روی یک به هم‌زن مغناطیسی (ایکا) قرار گرفته و در طول آزمایش به طور کامل هم زده می‌شود. محلول توسط پمپ پریستالتیک (هایدولف) به فتو راکتور آنولار پیوسته تزریق شده و در خروجی‌های معین، ۱۰ میلی‌لیتر از نمونه جمع‌آوری شده و توسط دستگاه اسپکتروفوتومتر UV/Vis (التروسپک) و با استفاده از نمودار کالیراسیون تهیه شده غلظت باقیمانده PNP اندازه‌گیری می‌شود. به منظور اندازه‌گیری شدت تابش نور فرابنفش از دستگاه اندازه‌گیری شدت تابش نور (لی‌بولد) استفاده شده است. شدت تابش در سطح لوله کوارتز برابر با ۴۲ وات بر متر مربع می‌باشد.

## نتیجه‌ها و بحث

### مدل‌سازی سینتیکی نتایج فتو راکتور لوله‌ای

به منظور مدل‌سازی سینتیکی حذف PNP توسط فرایند  $\text{UV/S}_\lambda \text{O}_\lambda^{\cdot-}$  در فتو راکتور لوله‌ای، ابتدا باید مکانیسمی فرض شود. در این کار مکانیسمی به صورت زیر برای این فرایند در نظر گرفته شده است:



$$k_r = 5 \times 10^{-5} \text{ M}^{-1}\text{s}^{-1} \quad [9]$$

معادله‌ی زیر با جایگذاری معادله‌های (۱۰) و (۱۵) در معادله (۲۰) به دست می‌آید:

$$\frac{d[S_rO_\lambda^{r-}]}{dt} = -\frac{2k_1k_4[S_rO_\lambda^{r-}]^2 - k_1k_5[S_rO_\lambda^{r-}][PNP]_o - 2k_1k_7[S_rO_\lambda^{r-}]}{k_4[S_rO_\lambda^{r-}] + k_5[PNP]_o} \quad (21)$$

با توجه به مقدارهای ثابت‌ها در معادله (۲۱)، می‌توان از جمله  $2k_1k_2[S_rO_\lambda^{r-}]$  در مقایسه با سایر جمله‌ها چشم‌پوشی نمود.

برای یک راکتور لوله‌ای معادله طراحی به صورت زیر می‌باشد (۱۱):

$$\frac{-d[PNP]}{dV} = \frac{-r_{PNP}}{v_o} \quad (22)$$

$$V = \frac{\pi}{4}(d_i^r - d_o^r)L \quad (23)$$

و

$$-r_{PNP} = \frac{-d[PNP]}{dt} \quad (24)$$

با جایگذاری معادله‌های (۲۳) و (۲۴) در معادله (۲۲) معادله زیر به دست می‌آید:

$$\frac{-d[PNP]}{dL} = \left( \frac{\frac{\pi}{4}(d_i^r - d_o^r)}{v_o} \right) \left( \frac{-d[PNP]}{dt} \right) \quad (25)$$

سرانجام با جایگذاری معادله‌های (۱۶) و (۲۱) در معادله (۲۵) خواهیم داشت:

$$\frac{-d[PNP]}{dL} = \left( \frac{\frac{\pi}{4}(d_i^r - d_o^r)}{v_o} \right) \left( \frac{2k_1k_5[S_rO_\lambda^{r-}]}{k_4[S_rO_\lambda^{r-}] + k_5[PNP]_o} [PNP] \right) \quad (26)$$

و

$$\frac{-d[H_rO_r]}{dL} = \left( \frac{\frac{\pi}{4}(d_i^r - d_o^r)}{v_o} \right) \left( \frac{2k_1k_5[S_rO_\lambda^{r-}]^2 + k_1k_5[S_rO_\lambda^{r-}][PNP]_o}{k_4[S_rO_\lambda^{r-}] + k_5[PNP]_o} \right) \quad (27)$$

$$[SO_4^{2-}] = \frac{2k_1[S_rO_\lambda^{r-}]}{k_4[S_rO_\lambda^{r-}] + k_5[PNP]_o + (k_6 - k_5)[Int.]} \quad (13)$$

از آنجایی که اختلاف چشمگیری بین  $k_6$  و  $k_5$  وجود ندارد، همچنین غلظت ترکیب‌های حدواتسط در قیاس با غلظت اولیه اکسیدکننده و همچنین غلظت اولیه PNP ناچیز است، بنابراین می‌توان نوشت:

$$k_4[S_rO_\lambda^{r-}] + k_5[PNP]_o \gg (k_6 - k_5)[Int.] \quad (14)$$

سرانجام خواهیم داشت:

$$[SO_4^{2-}] = \frac{2k_1[S_rO_\lambda^{r-}]}{k_4[S_rO_\lambda^{r-}] + k_5[PNP]_o} \quad (15)$$

با جایگذاری معادله ۱۵ در معادله ۷ خواهیم داشت:

$$\frac{-d[PNP]}{dt} = \frac{2k_1k_5[S_rO_\lambda^{r-}]}{k_4[S_rO_\lambda^{r-}] + k_5[PNP]_o} [PNP] \quad (16)$$

سینتیک حذف بسیاری از ترکیب‌های آبی در فرایندهای اکسیداسیون پیشرفت‌هه از درجه اول ظاهری پیروی می‌کند:

$$\frac{d[PNP]}{dt} = k_{ap}[PNP] \quad (17)$$

با مقایسه معادله‌های ۱۶ و ۱۷ خواهیم داشت:

$$k_{ap} = \frac{2k_1k_5[S_rO_\lambda^{r-}]}{k_4[S_rO_\lambda^{r-}] + k_5[PNP]_o} \quad (18)$$

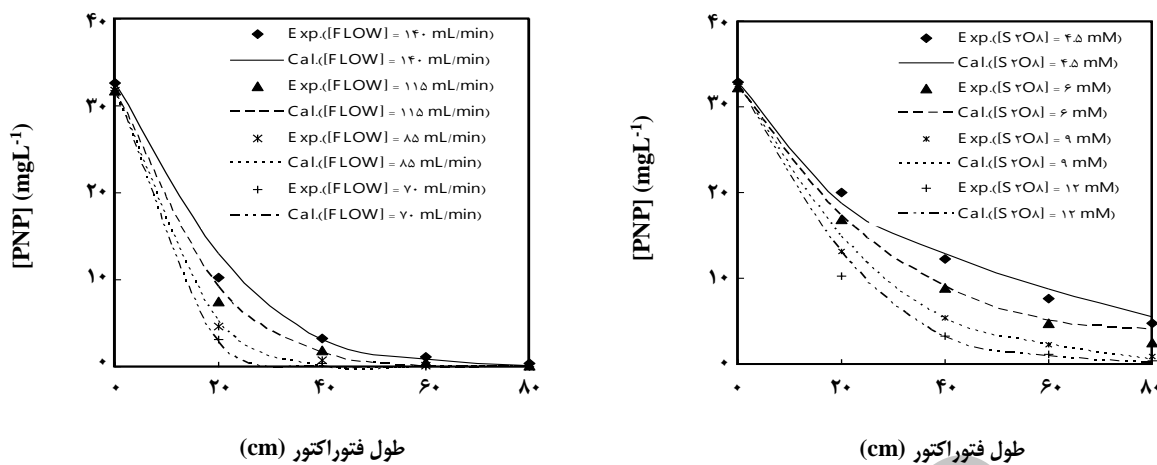
معادله (۱۸) را می‌توان با استفاده از داده‌های تجربی آزمود و پارامترهای مورد نظر را با خطی‌سازی این معادله به دست آورد:

$$\frac{1}{k_{ap}} = \frac{k_4}{2k_1k_5} + \frac{1}{2k_1} \frac{[PNP]_o}{[S_rO_\lambda^{r-}]} \quad (19)$$

از شبیه نمودار  $\frac{1}{k_{ap}}$  بر حسب  $\frac{[PNP]_o}{[S_rO_\lambda^{r-}]}$  مقدار  $k_1$  و  $k_5$  از عرض از مبدأ آن مقدار  $k_5$  به دست می‌آید. مقدارهای  $k_1$  و  $k_5$  برای حذف PNP در فرآیند راکتور لوله‌ای به ترتیب عبارتند از  $1.1 \times 10^{-5} \text{ M}^{-1}\text{s}^{-1}$  و  $1.1 \times 10^{-5} \text{ min}^{-1}$ . مقدار  $k_5$  در واقع بیانگر مقدار ثابت سرعت واقعی واکنش مابین رادیکال‌های  $SO_4^{2-}$  با مولکول‌های PNP می‌باشد.

معادله سینتیکی مترادف برای  $S_rO_\lambda^{r-}$  به صورت زیر می‌باشد:

$$\frac{d[S_rO_\lambda^{r-}]}{dt} = -k_1[S_rO_\lambda^{r-}] - k_7[S_rO_\lambda^{r-}][^{\bullet}OH] - k_7[S_rO_\lambda^{r-}][SO_4^{2-}] \quad (20)$$



شکل ۲- مقایسه بین مقدارهای محاسباتی و تجربی غلظت PNP در فتوراکتور لوله‌ای به دست آمده از حل همزمان معادله‌های سینتیک در غلظت‌های گوناگون اولیه از اکسیدکننده و همچنین در شدت جریان‌های گوناگون.

زمان اقامت PNP در فتوراکتور در شدت جریان‌های پایین می‌باشد. به عبارت دیگر در شدت جریان‌های پایین، مولکول‌های PNP مدت زمان بیشتری فرصت خواهند داشت با گونه‌های فعال تولید شده در راکتور واکنش داده و حذف مناسبی در طول کمتری از فتوراکتور صورت گیرد.

### نتیجه‌گیری

نتیجه‌ها نشان می‌دهد که فرایند  $\text{UV/S}_2\text{O}_8^{2-}$  کارایی چشمگیری در حذف PNP در فتوراکتور پیوسته آنولار مجهز به لامپ UV-C با طول موج نشري  $254 \text{ nm}$  دارد. معادله سینتیکی ارایه شده با تکیه بر مکانیسم پیشنهادی گوناگون همچون غلظت اکسیدکننده، تجربی در شرایط عملیاتی گوناگون همچون غلظت اکسیدکننده، شدت جریان حجمی سیال و طول فتوراکتور دارد. ثابت سرعت واقعی واکنش رادیکال‌های  $\text{SO}_4^{\cdot -}$  با مولکول‌های پارانیتروفل با مدل‌سازی سینتیکی برابر با  $1 \times 10^{-5} \text{ M}^{-1} \text{s}^{-1}$  به دست می‌آید.

### ارزیابی مدل سینتیکی در تخمین غلظت PNP در شرایط مختلف در فتوراکتور لوله‌ای

با جای‌گذاری مقدارهای ثابت‌ها در معادله‌های سینتیکی (۲۶) و (۲۷) غلظت PNP در طول‌های مختلف از فتوراکتور لوله‌ای برای غلظت‌های اولیه مختلف از اکسیدکننده و همچنین برای شدت جریان‌های حجمی مختلف از حل همزمان این معادله‌ها قابل دستیابی است. یک مقایسه بین مقدارهای تجربی و محاسباتی (به دست آمده از حل معادله‌های (۲۶) و (۲۷)) در حذف PNP به وسیله فرایند  $\text{UV/S}_2\text{O}_8^{2-}$  در فتوراکتور لوله‌ای با جریان پیوسته در شکل ۲ نشان داده شده است. مطابقت خوب مقدارهای تجربی و محاسباتی در بیشتر موارد مکانیسم پیشنهادی، فرضیه‌های انجام شده و همچنین معادله‌های سینتیکی را تأیید می‌کند. نتایج داده شده در شکل ۲ به خوبی نشان می‌دهد که افزایش غلظت  $\text{S}_2\text{O}_8^{2-}$  از  $4/5$  تا  $12$  میلی مولار به طور چشمگیری باعث کاهش غلظت PNP در خروجی نهایی فتوراکتور به کمترین مقدار خود شده است. این مسئله ناشی از افزایش غلظت رادیکال‌های  $\text{SO}_4^{\cdot -}$  و  $\text{OH}^{\cdot -}$  به عنوان گونه‌های فعال اکسیدکننده در غلظت‌های بالای  $\text{S}_2\text{O}_8^{2-}$  و مطابق با مکانیسم ارایه شده در معادله‌های (۱) تا (۴) می‌باشد.

نتیجه‌های تغییر شدت جریان نیز در این شکل به خوبی بیانگر این مطلب است که کاهش دبی جریان از  $140$  به  $70$  میلی لیتر بر دقیقه باعث شده است مقدار غلظت PNP در خروجی دوم فتوراکتور ( $40$  سانتی‌متر) به کمترین مقدار خود برسد. این مسئله ناشی از افزایش

## مراجع

- [1] Hao O.J., Kim H., Chiang P.-C., Decolorization of Wastewater, *Critical Reviews in Environmental Science and Technology*, **30**: 449-505 (2000).
- [2] Behnajady M.A., Modirshahla N., Daneshvar N., Rabbani M., Photocatalytic Degradation of an Azo Dye in a Tubular Continuous-Flow Photoreactor with Immobilized TiO<sub>2</sub> on Glass Plates, *Chemical Engineering Journal*, **127**: 167-176 (2007).
- [3] Legrini O., Oliveros E., Braun A.M., Photochemical Processes for Water Treatment, *Chemical Reviews*, **93**: 671-698 (1993).
- [4] Behnajady M.A., Modirshahla N., Shokri M., Photodestruction of Acid Orange 7 (AO7) in Aqueous Solutions by UV/H<sub>2</sub>O<sub>2</sub>: Influence of Operational Parameters, *Chemosphere*, **55**: 129-134 (2004).
- [5] Daneshvar N., Behnajady M.A., Zorrieh Asghar Y., Photooxidative Degradation of 4-Nitrophenol (4-NP) in UV/H<sub>2</sub>O<sub>2</sub> Process: Influence of Operational Parameters and Reaction Mechanism. *Journal of Hazardous Materials*, **139**: 275-279 (2007).
- [6] Mazellier P., Rachel A., Mambo V., Kinetics of Benzenesulfonates Elimination by UV and UV/H<sub>2</sub>O<sub>2</sub>, *Journal of Photochemistry and Photobiology A: Chemistry*, **163**: 389-393 (2004).
- [7] Behnajady M.A., Modirshahla N., Evaluation of Electrical Energy per Order (*E*<sub>EO</sub>) with Kinetic Modeling on Photooxidative Degradation of C.I. Acid Orange 7 in a Tubular Continuous-Flow Photoreactor. *Industrial and Engineering Chemistry Research*, **45**: 553-557 (2006).
- [8] Lin C.-C., Lee L.-T., Hsu L.-J., Performance of UV/S<sub>2</sub>O<sub>8</sub><sup>2-</sup> Process in Degrading Polyvinyl Alcohol in Aqueous Solutions, *Journal of Photochemistry and Photobiology A: Chemistry*, **252**: 1-7 (2013).
- [9] Hori H., Yamamoto A., Hayakawa E., Taniyasu S., Yamashita N., Kutsuna S., Kiatagawa H., Arakawa R., Efficient Decomposition of Environmentally Persistent Perfluorocarboxylic Acids by Use of Persulfate as a Photochemical Oxidant, *Environmental Science and Technology*, **39**: 2383-2388 (2005).
- [10] Salari D., Daneshvar N., Niae A., Aber S., Rasoulifard M.H., The Photo-oxidative Destruction of C.I. Basic Yellow 2 Using UV/S<sub>2</sub>O<sub>8</sub><sup>2-</sup> Process in an Annular Photoreactor, *Journal of Environmental Science and Health Part A*, **43**: 657-663 (2008).
- [11] Levenspiel O., "Chemical Reaction Engineering", John Wiley, N.Y. (1972).